



Research Paper

Effect of Mulch Types on Maintaining Soil Moisture in Different Landscape Areas of Tabriz City

Ahad Molavi¹, Shahram Shahmohammadi-Kalalagh^{2*} and Manouchehr Abdolmanafi-Ahangari³

¹Assist. Professor., Department of Water Sciences and Engineering, Faculty of Agriculture, Tabriz Branch, Islamic Azad University, Tabriz, Iran

²Assoc. Professor., Department of Water Sciences and Engineering, Faculty of Agriculture, Tabriz Branch, Islamic Azad University, Tabriz, Iran

³M.Sc., Department of Water Sciences and Engineering, Faculty of Agriculture, Tabriz Branch, Islamic Azad University, Tabriz, Iran

Article information

Received: September 15, 2021

Revised: January 06, 2022

Accepted: January 09, 2022

Keywords:

Fine Sand

Manure

Petrochemical Waste

Surface Evaporation

Wood Chips

*Corresponding author:

shahmohammadi_sh@iaut.ac.ir



Abstract

In this research, the effect of the mulch layer on the soil surface as an anti-evaporation layer was investigated in three soils with a different texture from three points of Tabriz green space including Abbas Mirza in the south, Einali in the north, and Khavarani in eastern Tabriz. The soils were placed in small lysimeters with a diameter and height of 30 cm (25 cm of soil and 3 cm of mulch). This field experiment was a completely randomized blocks design with five treatments included; control (no mulch layer) and four types of mulch cover including fine sand, manure, wood chips, and petrochemical waste, and three replications conducted over 20 days. The analysis of variance in all soil samples showed a significant effect ($p<0.01$) of the surface mulch layer on the amount of surface evaporation from lysimeters. The results also showed in sandy loam soils of Abbas Mirza and Khavarani regions, sand mulch treatment with 69.2% and 66.9%, respectively, and in clay loam soils of Einali region, wood chips treatment with 70% reduced evaporation. Petrochemical waste treatment showed the least effect in reducing the amount of evaporation in all three types of soil tested.

© Authors, Published by Environment and Water Engineering journal. This is an open-access article distributed under the CC BY (license <http://creativecommons.org/licenses/by/4.0/>).



Introduction

Reducing surface evaporation using mulches in surface soil can significantly help reduce irrigation losses and protect water resources. The main strength of mulching is to conserve soil moisture by reducing surface evaporation and controlling soil erosion. Basically, mulching

conserves soil water by reducing soil evaporation and regulating soil temperature which decreases irrigation demand during crop cultivation periods. There is a broad range of organic materials that work well as mulch for landscapes and gardens, but a handful of these materials are used more often than the rest on residential soils.

The aim of this study was to investigate the four types of mulch cover including fine sand, manure, wood chips, and petrochemical waste in surface soil as an anti-evaporation layer in soils with different textures from three regions of Tabriz.

Materials and Methods

To investigate the evaporation rate, the soils were filled into small lysimeters with a height and diameter of 30 cm (25 cm of soil and 3 cm of mulch). Lysimeters were inserted into the soil of the study area (Fig. 1). The amount of evaporation was calculated in terms of changes in the weight of the micro-lysimeter under field capacity conditions. The amount of drained water from micro-lysimeters (if any) was also collected and measured by the containers placed under them. In the control treatment, the upper 3 cm of water repellency soil was added on top of 25 cm of the soil. Then the lysimeters were placed inside the soil of the study area. In this type of lysimeter, the amount of evaporation was calculated according to the changes in the weight of the microlysimeter in the field capacity conditions.

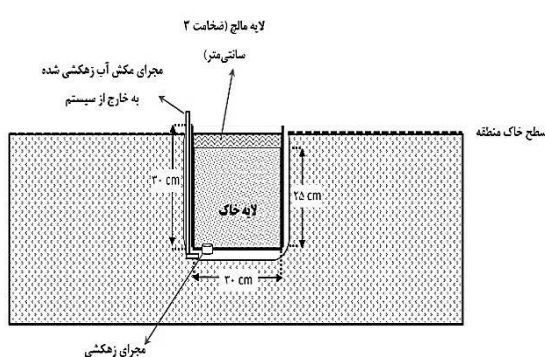


Fig. 1 Schematic diagram of a lysimeter installed on a field

To carry out irrigation, the height of humidity needed to reach the humidity of the field capacity of the soil up to a depth of 28 cm was determined by Eq. 1

$$d = D(\theta_{fc} - \theta_i) \quad (1)$$

Where, d is the height of the irrigation water (cm), D is the soil depth (cm), θ_{fc} , and θ_i are the field capacity moisture and initial soil moisture, respectively. The characteristics of the soils tested are presented in Table 1.

The 20-day period of surface evaporation measurement was from July 6 to July 25, 2019. After irrigation, the amount of water evaporation

from each lysimeter was measured and recorded every two days. In this way, on the first day of irrigation, the soil moisture of each lysimeter was brought to the field capacity, after two days the weight loss of the lysimeter was measured and the amount of evaporation was obtained. Then irrigation was done again to bring the soil moisture content in the lysimeter to the field capacity so that the moisture reduction does not prevent the reduction of evaporation. This procedure was performed every two days for twenty days. Finally, after the end of the experiment (day 20), the amount of evaporation in lysimeters with mulch and control lysimeters in all three soils was calculated and compared. The amount of water loss in each of the soils and with different mulch layers was calculated and the percentage of evaporation reduction in each of the treatments was obtained.

Table 1 Basic characteristics of soils tested

| Soil properties | Sandy Loam (Abbas) | Sandy Loam (Khavarani) | Clay Loam (Einali) |
|--|-----------------------|---------------------------|-----------------------|
| Clay (%) | 11.2 | 12 | 31.6 |
| Silt (%) | 9.1 | 21.3 | 29.6 |
| Sand (%) | 79.7 | 66.7 | 38.8 |
| Bulk density (g/cm ³) | 1.40 | 1.41 | 1.30 |
| FC water content (%) | 13 | 15 | 23 |
| EC of soil saturation extract (dS/m) | 1.42 | 1.11 | 3.7 |
| pH of soil saturation extract | 7.9 | 8.05 | 7.7 |
| Organic carbon (%) | 0.66 | 0.41 | 0.61 |

Results

By applying mulch on the soil surface, water consumption is significantly reduced due to the lack of contact of dry air and solar radiation to the soil surface. Moreover, due to the effects of flow slope, moisture movement from the depth to the soil surface, soil moisture in the presence of mulch is transferred to the soil surface by capillaries at a slower speed and as a result the moisture distribution in the soil is more uniform and the soil is more uniform. In the experimental period for all three soil types, the amount of evaporation was obtained in the following order: soil without surface mulch or control > petrochemical waste mulch > manure > wood chip > fine sand (Table 2).

Table 2 Mean percentage of evaporation reduction in lysimeters with mulch surface layer compared with control treatment in tested soils

| Mulch type | Soil | | |
|---------------------|--------------------------|-----------------------|--------------------|
| | Sandy Loam (Abbas Mirza) | Sandy Loam (Khavaran) | Clay Loam (Einali) |
| Fine Sand | 69.2 | 66.9 | 66.8 |
| Wood Chips | 68.4 | 66 | 70 |
| Manure | 63.9 | 60.9 | 57.9 |
| Petrochemical Waste | 51.6 | 46.6 | 46.2 |

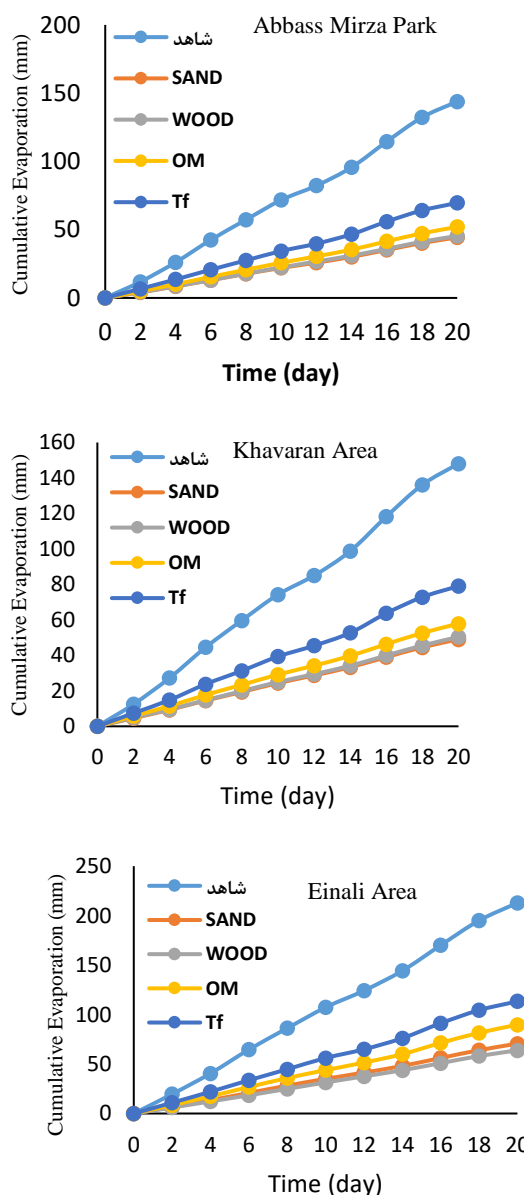


Fig. 2 Cumulative evaporation in the study area under coverage of different mulches

In addition, the average cumulative surface evaporation values from microlysimeters with surface mulch layer in the three tested soils in two-day periods (for 20 days) can be seen in Fig.

2. The most evaporation occurred from clay loam soil, followed by sandy loam (Khavran) and sandy loam (Abbas Mirza) soils.

The results of the analysis of variance show a significant effect (at the level of 1%) of the surface mulch layer on the amount of surface evaporation from lysimeters of all three types of soil. The average evaporation of lysimeters with different surface mulch layers had a significant difference (Duncan test at 5% level) and the types of mulch reduced the average evaporation of lysimeters in all three types of soil compared to the control treatment (Fig. 3 and Table 3).

Table 3 Analysis variance of the effect of surface mulch layer on the amount of surface evaporation from the tested soils

| Soil | Source of Variation | Sums of Squares | Degrees of Freedom | Squares Mean |
|--------------------------|---------------------|-----------------|--------------------|--------------|
| Sandy Loam (Abbas Mirza) | Treatment | 212.4 | 4 | 53.09* |
| | Error | 1.33 | 10 | 0.133 |
| | Total | 969.9 | 15 | |
| Sandy Loam (Khavaran) | Treatment | 208.5 | 4 | 52.12* |
| | Error | 1.48 | 10 | 0.148 |
| | Total | 1099 | 15 | |
| Clay Loam (Einali) | Treatment | 440.9 | 4 | 110.22* |
| | Error | 3.120 | 10 | 0.312 |
| | Total | 2263 | 15 | |

* P-Value is significant at 1% level

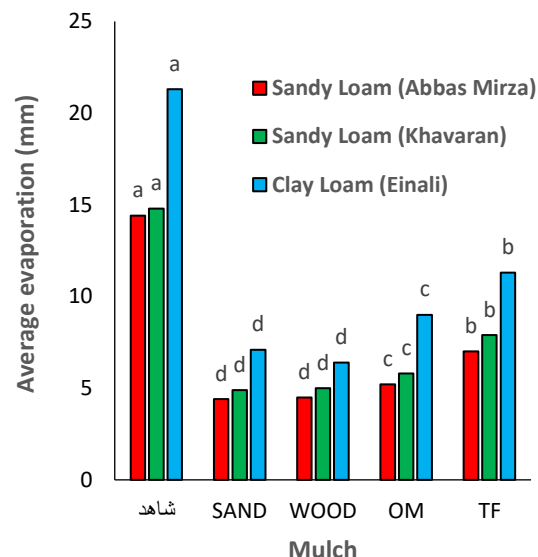


Fig. 3 Average evaporation of lysimeters with different surface mulch layers

Conclusion

During the 20-day test period, the highest amount of cumulative evaporation from clay

loam soil was 213 mm and sandy loam soils (Khavaran and Abbas Mirza parks) were in the next rank with 148 and 143 evaporation, respectively. The reason for more evaporation in clay loam soil can be due to the stronger capillary effect and better supply of moisture to the evaporation surface (soil surface) in this soil. In the sandy loam soil of Abbas Mirza Park and the Khavaran region, the maximum evaporation reduction in fine sand mulch was 69.2 and 66.9%, respectively. While in the clay loam soil of the Einali region, the greatest amount of evaporation occurred in the surface mulch of wood chips and as much as 70%. In other words, among the studied treatments, sand mulch and petrochemical waste treatments had the highest

and lowest efficiencies in reducing evaporation from soils with different textures, respectively.

Acknowledgment

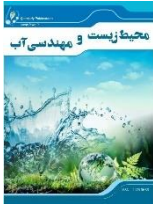
We are immensely grateful to “anonymous” reviewers for their comments on an earlier version of the manuscript.

Data Availability

The data used in this research are presented in the text.

Conflicts of Interest

The authors of this article declared no conflict of interest regarding the authorship or publication of this article.



ISSN: 2476-3683

محیط‌زیست و مهندسی آب

Homepage: www.jewe.ir

مقاله پژوهشی

تأثیر انواع مالج بر حفظ رطوبت خاک در مناطق مختلف فضای سبز شهر تبریز

احمد مولوی^۱، شهرام شاه محمدی کلالق^{۲*} و منوچهر عبدالمنافی آهنگر^۳

^۱ استادیار، گروه علوم و مهندسی آب، دانشکده کشاورزی، واحد تبریز، دانشگاه آزاد اسلامی، تبریز، ایران

^۲ دانشیار، گروه علوم و مهندسی آب، دانشکده کشاورزی، واحد تبریز، دانشگاه آزاد اسلامی، تبریز، ایران

^۳ کارشناسی ارشد، گروه علوم و مهندسی آب، دانشکده کشاورزی، واحد تبریز، دانشگاه آزاد اسلامی، تبریز، ایران

اطلاعات مقاله

چکیده

در پژوهش حاضر، اثر کاربرد لایه مالج در سطح خاک به صورت لایه ضد تبخیر در سه خاک با بافت متفاوت از سه نقطه از فضای سبز شهر تبریز شامل پارک عباس میرزا در جنوب، پارک عینالی در شمال و منطقه خاوران در شرق تبریز بررسی شد. خاک‌ها درون لایسیمترهای کوچک با قطر و ارتفاع ۳۰ cm به صورت ۲۵ cm خاک و ۳ cm مالج، قرار گرفتند. آزمایش در قالب طرح بلوک‌های کاملاً "تصادفی با ۵ تیمار، شامل تیمار شاهد (فادل لایه مالج سطحی) و چهار نوع پوشش مالچی شامل شن ریز، کود دامی، تراشه‌های چوبی و ضایعات پتروشیمی در سه تکرار و به مدت day ۲۰ انجام گرفت. نتایج حاصل از تجزیه واریانس در همه خاک‌ها نشان‌دهنده اثر معنی‌دار در سطح ۰/۱ لایه مالج سطحی بر مقدار تبخیر سطحی از لایسیمترها بود. همچنین نتایج نشان داد در خاک‌های لوم شنی منطقه عباس میرزا و خاوران، تیمار مالج شنی به ترتیب با ۶۹/۲ و ۶۶/۹٪ در خاک لوم رسی منطقه عینالی، تیمار خرد چوب با ۷۰٪ باعث کاهش در تبخیر شدند و تیمار ضایعات پتروشیمی کمترین تأثیر را در کاهش مقدار تبخیر در هر سه نوع خاک مورد آزمایش نشان داد.

تاریخ دریافت: [۱۴۰۰/۰۶/۲۴]

تاریخ بازنگری: [۱۴۰۰/۱۰/۱۶]

تاریخ پذیرش: [۱۴۰۰/۱۰/۱۹]

واژه‌های کلیدی:

تبخیر سطحی

تراشه چوب

شن ریز

کود دامی

ضایعات پتروشیمی

نویسنده مسئول:

shahmohammadi_sh@iaut.ac.ir

۱- مقدمه

کاهش تبخیر از سطح خاک علاوه بر ممانعت از تلفات آب، با حفظ رطوبت موجود در خاک موجب جلوگیری از نوسانات شدید دمایی در خاک و محیط رشد ریشه نیز می‌شود. همچنین بهدلیل کاهش دفعات آبیاری از شستشوی املاح و کودها به آبهای زیرزمینی نیز تا حد ممکن جلوگیری می‌گردد (Alizadeh 2018). از آنجایی‌که در فضای سبز، مسائل مربوط به چمن مثل چمن‌زنی، آبیاری و مبارزه با

می‌تواند موجب افزایش تغذیه آبخوان ناشی از افزایش نفوذ عمقی آب باران به داخل خاک به عنوان یکی از منابع تأمین آب کشاورزی گردد. اما می‌بایست در هنگام انتخاب این نوع مالج، ضمن در نظر گرفتن اثرات مثبت آن در حفظ رطوبت خاک، مسائل اجرایی آن نیز در سطح وسیع در نظر گرفته شود. (Rezaepour et al. 2018) اثر مالج کاه و کلش گندم در پنج سطح، صفر، ۲۵، ۵۰، ۷۵ و ۱۰۰٪ پوشش سطح بر نگهدارش رطوبتی خاک در شرایط دیم در منطقه نیمه-خشک را بررسی کردند نتایج پژوهش آن‌ها نشان داد محتوای رطوبتی خاک طی دوره رشد رابطه معنی‌دار با سطح مصرف مالج داشته است. بیشترین مقدار رطوبت حجمی خاک در تیمار ۱۰۰٪ مالج (۱۰/۶۲٪) بود که نسبت به تیمار شاهد ۱۱٪ افزایش نشان داد. تفاوت معنی‌داری بین تیمار ۱۰۰٪ مالج و ۷۵٪ از نظر تأثیر بر محتوای رطوبتی و ظرفیت نگهدارش آب خاک وجود نداشت بنابراین کاربرد سطح ۷۵٪ مالج کاه و کلش گندم روشنی اقتصادی است.

(Abedi Koupai et al. 2014) مقدار تبخیر و تعرق از پروفیل خاک در حضور مالچ‌های چوبی، سنگی و تراشه‌های لاستیکی با ضخامت‌های ۲/۵ و ۵ cm در چمن و خاک بدون پوشش را به روش شار صفر برآورد کردند. نتایج نشان داد خاک بدون پوشش، چمن، مالج چوبی به ضخامت ۵ cm مالج لاستیکی به ضخامت ۵ cm، مالج لاستیکی به ضخامت ۲/۵ cm، مالج سنگی به ضخامت ۲/۵ cm، مالج چوبی به ضخامت ۲/۵ cm و مالج سنگی به ضخامت ۵ cm به ترتیب بیشترین میزان تبخیر و تعرق داشتند. (Yuan et al. 2009) تبخیر سطحی تحت مالچ‌های سنگی با اندازه متفاوت را بررسی و اظهار نمودند مالج سنگی به صورت گستردگی در کاهش تبخیر سطحی در نقاط مختلف استفاده شده است. تیمارهای استفاده شده در این پژوهش شامل خاک لخت و سه مالج سنگی با اندازه ذرات ۰/۵، ۲/۵ و ۴/۵ cm بود که در سه تکرار مورد بررسی قرار گرفت. نتایج آنان نشان داد که در مقدار رطوبت برابر خاک، مقدار کاهش تبخیر تحت مالچ‌های سنگی دارای همبستگی منفی با اندازه ذرات شن داشته است. (Zribi et al. 2015) به بررسی کارایی مالچ‌های آلی و غیر آلی در کنترل تبخیر از خاک پرداختند. آنان مالج پلاستیکی (غیر آلی) و مالچ‌های پوست درختان، بقایای چوب، زمین-پوش و کاه گندم (مالج آلی) در کنترل تبخیر استفاده نمودند. برای اندازه‌گیری تبخیر از میکرولاسیمتر استفاده شد. نتایج آنان نشان داد که شدت تبخیر بستگی به شرایط

2013; Afshar et al. 2019). انواع موادی که به عنوان مالج استفاده می‌شوند عبارت‌اند از: پسماندهای گیاهی، برش‌های علوفه، برگ‌ها، پوست خردشده درخت، خاکاره، تراشه‌های چوب، کمپوست و انواع مالچ‌های رزینی (که از بازیافت تایرها و دیگر فرآوردهای پلاستیکی به دست می‌آیند)، پوشش‌های پلاستیکی و همچنین سنگریزه‌های Adedi Koupai et al. 2014; Sherafati et al. 2021).

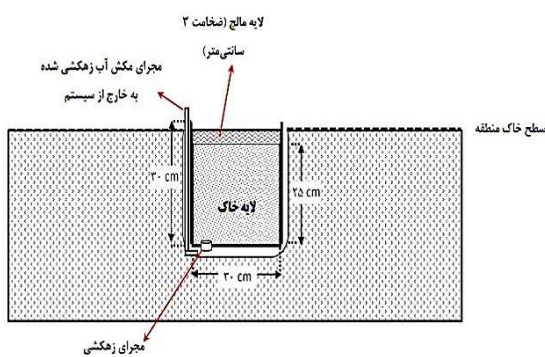
صرفه‌جویی در مصرف آب از مهم‌ترین دلایل مصرف مالج در فضای سبز است (Eslami and Farzamnia 2009; Abedi Koupai et al. 2014). در پژوهش‌های مختلف، عملکرد کاربرد انواع مالچ‌ها گزارش شده است. مالج سنگی توسط کشاورزان در نواحی خشک آرژانتین، چین، ایتالیا، پرو، نیوزیلند و آمریکا برای سالیان سال استفاده شده است (Ma and Liu 2011; Abedi Koupai et al. 2014; Yusefi et al. 2019). اثر مالج کاه و کلش بر تغییرات رطوبت و حرارت در دو خاک با بافت‌های شنی و لومی با سطح ایستابی ۶۰ cm در مقیاس لایسی‌متر را بررسی کردند. نتایج نشان داد که کاربرد مالج منجر به ذخیره ۲۰ تا ۲۵٪ رطوبت در لایه سطحی (۵ cm) خاک شد. آن‌ها دلیل افزایش رطوبت را تعديل دما در نیمرخ خاک و کاهش تبخیر از سطح خاک به‌واسطه مالج عنوان کردند. بعلاوه، اثر متقابل مالج و بافت خاک بر دمای نیمرخ خاک تأثیری در حدود ۴۰٪ نشان داد. (Yusefi et al. 2020) توزیع رطوبت در دو خاک شنی و لومی تحت تأثیر مالج کاه و کلش و سه سطح مختلف شوری آب زیرزمینی شامل ۱۰، ۱۵ و ۲۰ dS/m با نرم‌افزار Hydrus-1D شبیه‌سازی کردند و نشان دادند پوشش مالج، منجر به نگهدارش ۱۵ و ۲۰ درصدی رطوبت در لایه سطحی و کاهش ۲۷ و ۸ درصدی تبخیر به ترتیب در خاک لوم و شنی شد.

(Banihabib and Vaziri 2018) تأثیر مالچ‌های شن، ماسه و مخلوط شن و ماسه با نسبت یکسان را بر افزایش رطوبت خاک و نفوذ عمقی آب باران در دشت شهرکرد بررسی کردند. نتایج پژوهش نشان داد میزان نفوذ عمقی در طی دوره در کلیه مالچ‌های مورد بررسی نسبت به خاک بدون مالج افزایش داشته و بیشترین میزان در مالج شنی معادل ۱۷٪/۱ حاصل شد. این مقدار نسبت به خاک بدون مالج افزایش ۲۱٪ را نشان داد. لذا مالج پاشی اراضی کشاورزی

تیمارهای آزمایش، چهار نوع پوشش مالچی شامل؛ شن ریز، کود دامی، تراشه‌های چوبی و ضایعات پتروشیمی بود. در تیمار شاهد سطح خاک فاقد لایه مالج بود. خاک‌ها درون لایسیمترهای کوچک با ارتفاع و قطر ۳۰ cm پر شدند.

۲-۲- شرح آزمایش

پس از نمونه‌برداری هر یک از سه خاک موردنظر، برای بررسی میزان تبخیر خاک‌ها در سه تکرار درون لایسیمترهای کوچک با ارتفاع و قطر ۳۰ cm پر شدند، به‌این ترتیب که تا ارتفاع ۲۵ cm این لایسیمترها خاک و روی لایه ۲۵ cm هریک از خاک‌ها، ۳ cm از لایه مالج تهیه شده اضافه شد (شکل ۱).



شکل ۱- طرح شماتیک لایسیمتر کار گذاشته شده در سطح مزرعه
Fig. 1 Schematic diagram of a lysimeter installed on a field

در تیمار شاهد ۳ cm بالای نیز از خاک بدون آب‌گریزی در روی ۲۵ cm خاک اولیه اضافه گردید. سپس لایسیمترها در درون خاک منطقه آزمایش قرار داده شد. در این نوع لایسیمتر مقدار تبخیر بر حسب تغییرات وزن میکرولایسیمتر در شرایطی که رطوبت در حالت ظرفیت مزرعه باشد محاسبه گردید. میزان آب زهکشی شده از میکرو لایسیمترها (در صورت وقوع) نیز از طریق ظروفی که در زیر آن‌ها قرار داده شده بود جمع‌آوری و توسط ظروف مدرج اندازه‌گیری گردید.

برای انجام آبیاری، ارتفاع رطوبت موردنیاز برای رسیدن رطوبت به ظرفیت مزرعه‌ای خاک تا عمق ۲۸ cm توسط رابطه (۱) تعیین شد.

$$d = D(\theta_{fc} - \theta_i) \quad (1)$$

که، d ارتفاع آب آبیاری (cm)، D عمق خاک (cm)، θ_{fc} و θ_i به ترتیب رطوبت ظرفیت مزرعه‌ای و رطوبت اولیه خاک می‌باشند.

اقلیمی، دوره تبخیر و نوع مواد مالچی دارد. اخیراً "مطالعات متعددی در مورد استفاده از انواع مالج‌ها در کاهش تبخیر در مناطق خشک و نیمه خشک انجام گرفته است (Kazemi et al. 2021; Safari et al. 2021; Jozay 2020)" استفاده از مالج‌های مختلف در خاک فضای سبز شهر تبریز پژوهشی صورت نگرفته است. کاهش تلفات آبیاری در اثر تبخیر سطحی با استفاده از مالج‌ها در خاک سطحی می‌تواند کمک قابل توجهی در کاهش تلفات آبیاری و حفاظت از منابع آب در شرایط کنونی که کشورمان دچار کمبود آب است، داشته باشد. بنابراین هدف از پژوهش حاضر، بررسی اثر کاربردی ایجاد لایه باریک از چهار نوع مالج در خاک سطحی به صورت لایه ضد تبخیر در خاک‌هایی با بافت متفاوت از سه منطقه تبریز می‌باشد.

۲- مواد و روش‌ها

۲-۱- مشخصات خاک و تیمارهای آزمایش

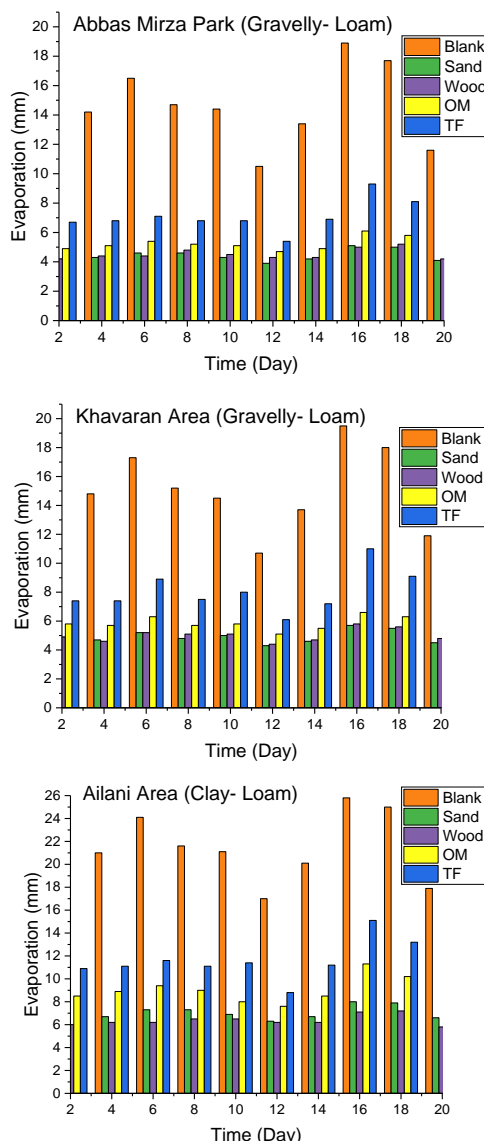
برای بررسی تأثیر لایه باریک مالج بر کاهش تبخیر سطحی و کاهش تلفات آب، خاک‌های موردنظر برای آزمایش‌ها از سه نقطه از فضای سبز شهر تبریز شامل؛ پارک عباس میرزا در جنوب (با موقعیت جغرافیایی "۳۶°۰'۰۰" طول شرقی)، پارک عینالی (عون بن علی) در شمال (با موقعیت جغرافیایی "۳۸°۰'۵۵" طول شمالی و "۴۰°۱۸'۴۶" طول شرقی) و منطقه خاوران در شرق تبریز (با موقعیت جغرافیایی "۴۴°۰'۰۰" طول شرقی و "۴۵°۲۵'۴۶" طول شرقی) نمونه‌برداری شد. این محل‌ها به این دلیل انتخاب گردیدند که مناطق در دست احداث و فرصت‌های آینده شهر تبریز برای توسعه فضای سبز می‌باشند. خصوصیات عمومی خاک‌های مورد آزمایش در جدول (۱) آمده است.

جدول ۱- خصوصیات عمومی خاک‌های مورد آزمایش

Table 1 Basic characteristics of soils tested

| Soil properties | Sandy Loam (Abbas Mirza) | Sandy Loam (Khavaran) | Clay Loam (Einali) |
|----------------------|--------------------------|-----------------------|--------------------|
| Clay (%) | 11.2 | 12 | 31.6 |
| Silt (%) | 9.1 | 21.3 | 29.6 |
| Sand (%) | 79.7 | 66.7 | 38.8 |
| Bulk density | 1.40 | 1.41 | 1.30 |
| FC water content (%) | 13 | 15 | 23 |
| EC (dS/m) | 1.42 | 1.11 | 3.7 |
| pH | 7.9 | 8.05 | 7.7 |
| Organic carbon (%) | 0.66 | 0.41 | 0.61 |

تراسه چوب (Wood) < شن ریز (Sand). با کاربرد مالج روی سطح خاک به علت عدم تماس هوای خشک و تابش خورشیدی به سطح خاک، مصرف آب به طور قابل ملاحظه ای کاهش می یابد. همچنین به علت اثرات شیب جریان، حرکت رطوبت از عمق به سطح خاک، رطوبت خاک در حضور انواع مالج توسط لوله های موبین با سرعت کمتری به طرف سطح خاک منتقل شده و درنتیجه توزیع رطوبت در خاک یکنواخت بوده و رطوبت بیشتری در خاک ذخیره می گردد. بیشترین مقدار تبخیر در روز ۱۶ و کمترین آن در روز ۱۲ اتفاق افتاد.



شکل ۲- میزان تبخیر سطحی روزانه مناطق مورد مطالعه تحت پوشش مالج های مختلف

Fig. 2 Daily surface evaporation in study area under coverage of different mulches

برای انجام آزمایش های تبخیر در شرایط اقلیمی یکسان در هر سه خاک، تمامی لایسیمترها پس از آمده سازی درون خاک در محوطه پارک تاریخی و فرهنگی ائل گلی (با موقعیت جغرافیایی $1^{\circ}36'0''$ عرض شمالی و $46^{\circ}21'51''$ طول شرقی) استقرار یافتند. دوره ۲۰ day اندازه گیری تبخیر سطحی در بازه زمانی ۶ تیر تا ۲۵ تیرماه ۱۳۹۹ قرار داشت. پس از آبیاری، هر دو روز یکبار مقدار تبخیر آب از هر لایسیمتر به روش وزنی اندازه گیری و ثبت شد. بدین صورت که در روز اول با آبیاری رطوبت خاک هر لایسیمتر به حد رطوبت ظرفیت مزرعه ای رسانده شد. پس از گذشت دو روز مقدار کاهش وزن لایسیمتر اندازه گیری شده و براساس آن مقدار تبخیر به دست آمد. سپس مجددآ آبیاری برای رساندن مقدار رطوبت خاک درون لایسیمتر به حد ظرفیت مزرعه ای انجام شد تا کاهش رطوبت مانع کاهش تبخیر نگردد. این عمل هر دو روز یکبار به مدت بیست روز انجام یافت. در نهایت پس از اتمام آزمایش (۲۰ day) مقدار تبخیر در لایسیمترهای دارای مالج و لایسیمترهای شاهد در هر سه خاک محاسبه و مورد مقایسه قرار گرفت. مقدار تلفات آب در هر یک از خاک ها و با لایه مالج متفاوت محاسبه و درصد کاهش تبخیر در هر یک از تیمارها به دست آمد. تحلیل نتایج توسط نرم افزار SPSS و مقایسه میانگین بین میزان تبخیر در پوشش های مالچی مختلف برای هر سه خاک توسط آزمون دانکن با سطح احتمال ۵٪ انجام گرفت.

۳- یافته ها و بحث

۳-۱- میزان تبخیر از لایسیمترها

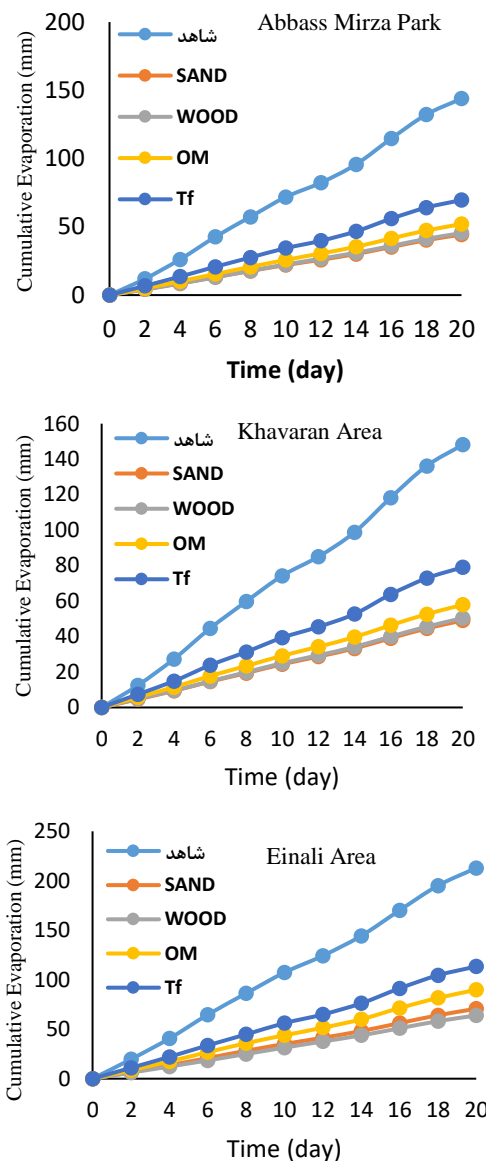
مقادیر میانگین (حاصل از سه تکرار) تبخیر سطحی از میکرو لایسیمترهای دارای لایه مالج سطحی در خاک لوم شنی پارک عباس میرزا، خاک لوم شنی منطقه خاوران و خاک لوم رسی منطقه عینالی در دوره های دوروزه (به مدت ۲۰ day) در شکل (۲) نشان داده شده است.

همان گونه که در شکل (۲) دیده می شود، در روزهای مختلف براساس شرایط دمایی و دیگر شرایط تبخیری مانند باد و غیره، مقدار تبخیر متفاوتی در هر تیمار دیده می شود. با تغییر نوع لایه مالج سطحی در میکرو لایسیمترها، میزان تبخیر سطحی مقدار متفاوتی نشان داد. به طوری که در دوره آزمایش برای هر سه نوع خاک، مقدار تبخیر به ترتیب زیر حاصل شد: خاک فاقد لایه مالج سطحی یا شاهد > تیمار لایه مالج ضایعات پتروشیمی (Tf) > تیمار کود دامی (OM) <

بیشتر بودن تبخیر در خاک لوم رسی به علت اثر موئینگی قوی‌تر و تأمین بهتر رطوبت به سطح تبخیر (سطح خاک) در این خاک می‌باشد. در خاک‌های لوم و لوم شنی به علت کاهش تأمین رطوبت به سطح خاک در شرایط یکسان اقلیمی به ترتیب مقادیر تبخیر سطحی کمتری مشاهده شد. همچنین در شکل (۳) مشاهده می‌شود در روزهای مختلف براساس شرایط تبخیری اتمسفر میزان تبخیر متفاوتی از هریک از لایسیمترها روی داده است. طبق نظر Bachmann et al. (2007) و Burguet et al. (2016) تبخیر از خاک می‌تواند تحت تأثیر عوامل دیگری مانند تخلخل، توزیع اندازه ذرات و منافذ باشد.

میزان کاهش تبخیر در لایسیمترهای با لایه‌های مختلف مالج نسبت به لایسیمتر شاهد یا بدون لایه مالج در خاک‌های با بافت متفاوت در جدول (۲) آمده است. چنانچه مشهود است میزان کاهش تبخیر در خاک لوم شنی (عباس‌میرزا) در تمامی تیمارها بیشتر از دو خاک دیگر بوده است. در خاک لوم شنی پارک عباس‌میرزا و منطقه خاوران بیشینه درصد کاهش تبخیر به ترتیب برابر $69/2$ ٪ و $66/9$ ٪ در مالج سطحی شن ریز حاصل شد. در حالی که در خاک لوم رسی منطقه عینالی بیشترین مقدار کاهش تبخیر برابر $70/0$ ٪ در مالج سطحی تراشه چوبی اتفاق افتاد. دلیل کارایی بالای مالج شنی در کاهش تبخیر را می‌توان به صورت زیر تفسیر کرد: پس از آبیاری و خشک شدن سطح خاک، ضریب هدایت موئینگی در لایه سطحی مالج شنی بهشت کاهش پیدا می‌کند و چون فرار رطوبت از خاک در اثر تبخیر در شرایط غیراشباع صورت گرفته و آب تبخیر شده می‌بایست از همان لایه سطحی خشک شده که ضریب هدایت موئینگی آن کم است نیز عبور کند لذا سرعت خروج آب از لایه سطحی مالج شنی شدیداً کاهش می‌یابد (Alizadeh 2018). به عبارتی، مالج شنی مقاومت زیادی در برابر خروج آب از خاک ایجاد می‌کند، تبادلات حرارتی خاک با محیط بیرون را کاهش داده و به عنوان یک سد محافظه، سطح خاک را از اثر باد و نور خورشید حفظ می‌کند، به همین علت، تبخیر از آن کم بوده است (Yamanaka et al. 2004).

اما مالج چوبی پس از آبیاری تا ساعتها مرطوب مانده و در برابر باد مقاومتی ندارد و رطوبت رسیده از اعمق به سطح خاک را به خارج از خاک منتقل کرده و تبخیر از آن در مقایسه با مالج شنی زیاد است. مالج کود دامی به علت



شکل ۳- میزان تبخیر تجمعی مناطق مورد مطالعه تحت پوشش مالج‌های مختلف

Fig. 3 Cumulative evaporation in study area under coverage of different mulches

همچنین، مقادیر میانگین حاصل از سه تکرار تبخیر سطحی تجمعی از میکرولایسیمترهای دارای لایه مالج لایه مالج سطحی در سه خاک مورد آزمایش در دوره‌های دوروزه (به مدت day ۲۰) در شکل (۳) مشاهده می‌شود. در بین سه خاک مورد آزمایش، بیشترین تبخیر صورت گرفته از خاک لوم رسی بوده و سپس خاک‌های لوم شنی (خاوران) و لوم شنی (عباس‌میرزا) از نظر مقدار تبخیر در درجات بعدی قرار دارند.

Ghorbanian et al. (2014) نیز در پژوهش خود مشاهده نمودند که بافت خاک بر میزان تبخیر مؤثر بوده و در خاک‌های ریزبافت‌تر مقدار تبخیر بیشتری گزارش نمودند. دلیل

کامل از رسیدن اشعه و حرارت خورشید به زمین (عامل ایجاد تبخیر) مرتبط دانست. به طور مشابه Zribi et al. (2015) نیز اثر نوع ماده مالچی بر میزان تبخیر سطحی را گزارش نموده‌اند.

جدول ۲- میانگین درصد کاهش تبخیر در لایسیمترهای دارای لایه سطحی مالج نسبت به تیمار شاهد در خاک‌های مورد آزمایش

Table 2 Mean percentage of evaporation reduction in lysimeters with mulch surface layer compared to control treatment in tested soils

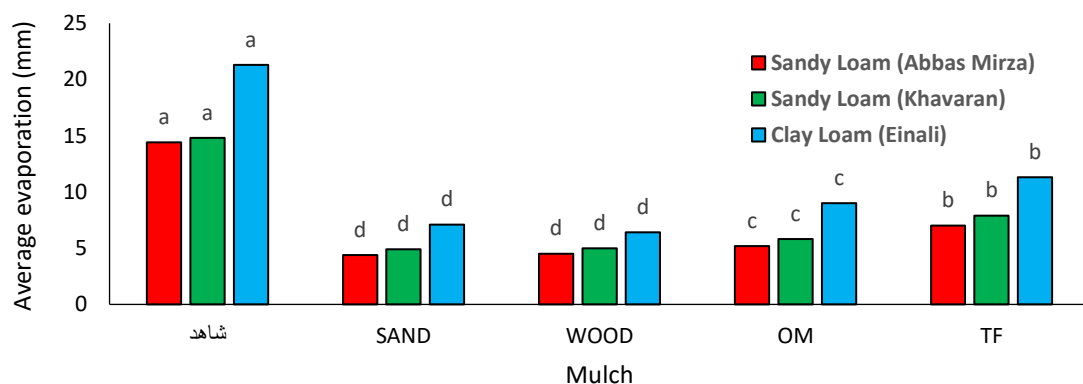
| Mulch type | Soil | | |
|---------------------|--------------------------|-----------------------|--------------------|
| | Sandy Loam (Abbas Mirza) | Sandy Loam (Khavaran) | Clay Loam (Einali) |
| Fine Sand | 69.2 | 66.9 | 66.8 |
| Wood Chips | 68.4 | 66 | 70 |
| Manure | 63.9 | 60.9 | 57.9 |
| Petrochemical Waste | 51.6 | 46.6 | 46.2 |

جدول ۳- تجزیه واریانس تأثیر لایه مالج سطحی بر مقدار تبخیر سطحی از خاک‌های مورد آزمایش

Table 3 Analysis variance of the effect of surface mulch layer on the amount of surface evaporation from the tested soils

| Soil | Source of Variation | Sums of Squares | Degrees of Freedom | Mean Squares |
|--------------------------|---------------------|-----------------|--------------------|--------------|
| Sandy Loam (Abbas Mirza) | Treatment | 212.387 | 4 | 53.097** |
| | Error | 1.333 | 10 | 0.133 |
| | Total | 969.870 | 15 | |
| Sandy Loam (Khavaran) | Treatment | 208.500 | 4 | 52.125** |
| | Error | 1.480 | 10 | 0.148 |
| | Total | 1099.330 | 15 | |
| Clay Loam (Einali) | Treatment | 440.897 | 4 | 110.224** |
| | Error | 3.120 | 10 | 0.312 |
| | Total | 2263.420 | 15 | |

** P-Value is significant at 1% level



شکل ۴- میانگین تبخیر از لایسیمترهای با لایه مالج سطحی مختلف

Fig. 4 Average evaporation of lysimeters with different surface mulch layers

اثر معنی‌دار (در سطح یک درصد) لایه مالج سطحی بر مقدار تبخیر سطحی از لایسیمترها می‌باشد (جدول ۳). اثر لایه مالج سطحی در کاهش تبخیر می‌تواند ناشی از رنگ، هدایت

ایجاد شرایط مساعد جهت فعالیت و تکثیر میکرووارگانیسم‌های خاک، شرایط رطوبتی را برای انجام بهتر عمل تبخیر خاک فراهم می‌کند و همچنین سبب بیشتر گرم شدن سطح خاک شده و آب بیشتری از سطح خاک تبخیر گردیده است.

همچنین به علت وزن کم و تخلخل زیاد برخلاف مالج شنی نمی‌تواند مقاومت زیادی در برابر خروج بخارآب خاک ایجاد نماید. Yuan et al. (2009) نیز در پژوهش‌های خود به کارایی بالای مالج شنی در کاهش تبخیر سطحی اشاره کرده‌اند. همچنین کمترین مقدار درصد کاهش تبخیر در سه خاک لوم شنی عباس میرزا، لوم شنی خاوران و لوم رسی عینالی به ترتیب برابر $51/6$ ، $46/6$ و $46/7$ % بود که در تیمار مالج سطحی ضایعات پتروشیمی دیده شد. دلیل کارایی پایین مالج ضایعات پتروشیمی در مقایسه با بقیه انواع مالج‌ها را می‌توان به شکل نامنظم و احناندار فیزیکی و عدم همپوشانی کامل با سطح زمین و درنتیجه عدم ایجاد منع

۳-۲- تحلیل آماری

نتایج حاصل از تجزیه واریانس در خاک‌های لوم شنی منطقه عباس میرزا و خاوران و لوم رسی منطقه عینالی نشان‌دهنده

۲- در خاک لوم شنی پارک عباس‌میرزا و منطقه خاوران بیشینه درصد کاهش تبخیر در مالج سطحی شن ریز به- ترتیب به میزان $69/2$ و $66/9$ % حاصل شد. درحالی که در خاک لوم رسی منطقه عینالی بیشترین مقدار کاهش تبخیر در مالج سطحی تراشه چوبی و به اندازه $70/0$ % اتفاق افتاد.

۳- نتایج حاصل از تجزیه واریانس نشان‌دهنده اثر معنی دار در سطح $1/1$ لایه مالج سطحی بر مقدار تبخیر سطحی از لایسیمترها در همه خاک‌ها می‌باشد.

۴- بر اساس آزمون دانکن، میانگین تبخیر از لایسیمترهای با لایه مالج سطحی متفاوت در هر سه نوع خاک موردمطالعه نسبت به تیمار شاهد دارای اختلاف معنی‌دار (در سطح پنج درصد) بود. هرچند اختلاف معنی‌داری بین میانگین تبخیر در مالج‌های شن ریز و تراشه چوبی در این خاک‌ها مشاهده نشد.

جهت بررسی بیشتر در انتخاب مالج مناسب‌تر برای فضای سبز شهری در کنار نتایج پژوهش حاضر، بهتر است سایر پارامترها از جمله اندازه ذرات، ضخامت لایه مالج سطحی و بحث اقتصادی نیز مورد ارزیابی قرار گیرد.

دسترسی به داده‌ها

داده‌های استفاده شده (یا تولید شده) در این پژوهش در متن مقاله ارائه شده است.

تضاد منافع نویسنده‌گان

نویسنده‌گان این مقاله اعلام می‌دارند که، هیچ‌گونه تضاد منافعی در رابطه با نویسنده‌گی و یا انتشار این مقاله ندارند.

References

- Ahmadi, A., Forutan, R. Esmaeili, H. and Tamjidi, S. (2020). The role of bentonite clay and bentonite chay@MnFe₂O₄ composite and their physico-chemical properties on the removal of Cr(II) and Cr(VI) from aqueous media. Environ. Sci. Poll. Res., 27(12), 14044-14057. DOI: 10.1007/s11356-020-07756-x.
- Akar, Sh., Lorestani, B. Sobhanardakani, S. Cheraghi, M. and Moradi, O. (2019). Surveying the efficiency of Plantanus Orientalis bark as biosorbent for Ni and Cr(VI) removal from plating wastewater as a real sample. Environ. Monit. Assess., 191(6), 373. DOI: 10.1007/s10661-019-7479-z.
- Bazrafshan, E., Balarak, D., Ahmad Panahi, H. Kamani, H. and Mahvi, A. H. (2016). Fluoride removal from aqueous solution by cupric oxide nanoparticles. Fluoride. 49(3), 233-44 [In Persian].
- Bhaumik, R., Mondal, N. K., Das, B., Roy, P., Pal, K. C. and Datta, J. K. (2012). Eggshell powder as an adsorbent for removal of fluoride from aqueous solution: Equilibrium, kinetic and thermodynamic studies. J. Chem., 9, 1457-80. DOI: 10.1155/2012/790401.
- Cheraghi, M. Sobhanardakani, S. Zandipak, R. Lorestani, B. and Merrikhpour, H. (2015). Removal of Pb(II) from aqueous solutions using waste tea leaves. Iran. J. Toxicol., 9(28), 1247-1253.

- Choong, C. E., Kim, M., Yoon, S., Lee, G. and Park, C. M. (2018). Mesoporous La/Mg/Si-incorporated palm shell activated carbon for the highly efficient removal of aluminum and fluoride from water. *J. Taiwan Inst. Chem. Eng.*, 93, 306-314. DOI.
- Craig, L., Lutz, A., Berry, K. A. and Yang, W. (2015). Recommendations for fluoride limits in drinking water based on estimated daily fluoride intake in the Upper East Region, Ghana. *Sci. Total Environ.*, 532(1), 127-37. DOI. 10.1016/j.scitotenv.2015.05.126.
- Ghafoori, M., Cheraghi, M., Kiani Sadr, M., Lorestani, B. and Sobhanardakani, S. (2022). Magnetite graphene oxide modified with β -cyclodextrin as an effective adsorbent for the removal of methotrexate and doxorubicin hydrochloride from water. *Environ. Sci. Pollut. Res.*, 29(23), 35012-35024. DOI. 10.1007/s11356-022-18725-x.
- Gomez-Hortiguela, L., Perez-Pariente, J., Garcia, R., Chebude, Y. and Diaz, I. (2013). Natural zeolites from Ethiopia for elimination of fluoride from drinking water. *Sep. Purif. Technol.*, 120, 224-229. DOI.10.1016/j.seppur.2013.10.006.
- Khalil, H. P. S. A., Jawaid, M., Firoozian, P., Rashid, U., Islam, A. and Akil, H. M. (2013). Activated carbon from various agricultural wastes by chemical activation with KOH: preparation and characterization, *J. Biobase. Mater. Bioenergy*, 7, 708-714. DOI. 10.1166/jbmb.2013.
- Hajipour, F., Asad, S., Amoozegar, M. A., Javidparvar, A. A., Tang, J., Zhong, H. and Khajeh, K. (2021). Developing a fluorescent hybrid nanobiosensor based on quantum dots and azoreductase enzyme formethyl red monitoring. *Iran. Biomed. J.*, 25(1), 8-20. DOI. 10.29252/ibj.25.1.8.
- Hameed, B., Ahmad, A. and Aziz, N. (2007). Isotherms, kinetics and thermodynamics of acid dye adsorption on activated palm ash. *Chem. Eng. J.*, 133(1-3), 195-203. DOI.
- Janovs, P., Buchtova, H. and Ryznarova, M. (2003). Sorption of dyes from aqueous solution onto fly ash. *Water Res.*, 37(20), 4938-4944. DOI. 10.1016/j.watres.2003.08.011.
- Khodadadi, M., Mahvi, A. H., Vazieni, H., Khosravi, R., Dorri, H. and Saghi, M. H. (2015). Investigation of fluoride removal efficiency from aqueous solution by pistachio and almonds crust. *J. Environ. Health Eng.*, 2(3), 238-248. DOI: 10.18869/acadpub.jehe.2.3.238 [In Persian]
- Liu A., Ming J. and Ankumah R.O. (2005). Nitrate contamination in private wells in rural Alabama, United States. *Sci. Total Environ.*, 346(1-3), 112-120. DOI. 10.1016/j.scitotenv.2004.11.019.
- Liu, X-Y., Huang, M., Ma, H-L., Zhang, Z-Q., Gao, J-M., Zhu, Y-L., Han, X-J. and Guo, X-Y. (2010). Preparation of a carbon-based solid acid catalyst by sulfonating activated carbon in a chemical reduction process. *Molecules*, 15(10), 7188-7196. DOI. 10.3390/molecules15107188.
- Mahvi, A. H., Kord Mostafapour, F. and Balarak, D. (2019). Adsorption of fluoride from aqueous solution by eucalyptus bark activated carbon: Thermodynamic analysis. *Fluoride*, 52(4), 562-568.
- Maleki, A. and Eslami, A. (2011). Isotherm and kinetics of arsenic (V) adsorption from aqueous solution using modified wheat straw. *Iran. J. Health Environ.*, 3(4), 439-450 [In Persian].
- Malkoc, E. and Nuhoglu, Y. (2010). Nickel (II) adsorption mechanism from aqueous solution by a new adsorbent—Waste acorn of Quercus ithaburensis. *Environ. Prog. Sustain. Eng.*, 29, 297-306. DOI.10.1002/ep.10412.
- Manoucheri-Tabar, H. and Ebrahimi, A. (2018). Comparison of efficiency for cadmium removal from aqueous solutions by using active carbon provided by oak fruit cap and its modification by magnetic nanoparticles. *J. Health Syst. Res.*, 14 (3), 307-313. DOI. 10.22122/jhsr.v14i3.3197. [In Persian]
- Nizam, S., Singh, H., Indra, V. and Sen, S. (2022). High levels of fluoride in groundwater from Northern parts of Indo-Gangetic plains reveals detrimental fluorosis health risks. *Environ. Adv.*, 8, 100200. DOI. 10.1016/j.envadv.2022.100200.
- Robinson, T., Chandran, B. and Nigam, P. (2002). Removal of dye from an artificial textile dye effluent by two agrides, corbon and barley husk. *Environ. Int.*, 28(1), 29-33. DOI. 10.1016/s0160-4120(01)00131-3.

- Takmil, F., Esmaeili, H., Mousavi, M. and Hashemi, A. (2020). Nano-magnetically modified activated carbon prepared by oak shell for treatment of wastewater containing fluoride ion. *Adv. Powd. Technol.*, 31(8), 3236-3245. DOI. 10.1016/j.ap.2020.06.015.
- Talebzadeh, F., Zandipak, R. and Sobhanardakani, S. (2016). CeO_2 nanoparticles supported on CuFe_2O_4 nanofibers as novel adsorbent for removal of $\text{Pb}(\text{II})$, $\text{Ni}(\text{II})$ and $\text{V}(\text{V})$ ions from petrochemical wastewater. *Desalin. Water Treat.*, 57(58), 28363-28377. DOI. 1080/19443994.2016.1188733.
- Vazquez-Guerrero, A., Alfaro-Cuevas-Villanueva, R., Rutiaga-Quinones, J. G. and Cortes-Martinez, R. (2016). Fluoride removal by aluminum – modified pine sawdust; effect of competitive ions. *Ecol. Eng.*, 94, 365-379. DOI.10.1016/j.ecoleng.2016.05.070.
- Yadav, A. K., Abbassi, R., Gupt, A. and Dadashzadeh, M. (2013). Removal of fluoride from aqueous solution and groundwater by wheat straw, sawdust and activated bagasse carbon of sugarcane. *Ecol. Eng.*, 52, 211-218. DOI. 10.1016/j.ecoleng.2012.12.069.
- Yousefi, M., Ghoohani, M. and Mahvi, A. H. (2018). Health risk assessment to fluoride in drinking water of rural residents living in the Poldasht City, Northwest of Iran. *Ecotoxic. Environ. Saf.*, 148, 426-430. DOI. 10.1016/j.ecoenv.2017.10.057.
- Zandipak, R., Sobhanardakani, S. and Shirzadi, A. (2020). Synthesis and application of nanocomposite $\text{Fe}_3\text{O}_4@\text{SiO}_2@\text{CTAB}-\text{SiO}_2$ as a novel adsorbent for removal of cyclophosphamide from water samples. *Separ. Sci. Technol.*, 55(3), 456-470. DOI.10.1080/01496395.2019.1566262.
- Zarei, S., Dehvari, M., Jamshidi, B. and Sadani, M. (2015). Investigation of isotherm and kinetic of nickel adsorption by acorn ashes from aqueous solutions. *J. Rafsanjan Univ. Med. Sci.*, 13(9), 897-908. [In Persian]
- Zarrabi, M., Noori Sepehr, M., Amrollahi, M. and Taghavi, M. (2015). Biosorption of fluoride by apple pulp from aqueous solution. *Koomedh*, 16(2), 213-219 [In Persian].

How to cite this paper:

Molavi, A., Shahmohammadi-Kalalagh, S. and Abdolmanafi-Ahangari, M. (2022) Effect of mulch types on maintaining soil moisture in different landscape areas of Tabriz City. *Environ. Water Eng.*, 8(3), 581–593. DOI: 10.22034/JEWE.2021.299503.1610